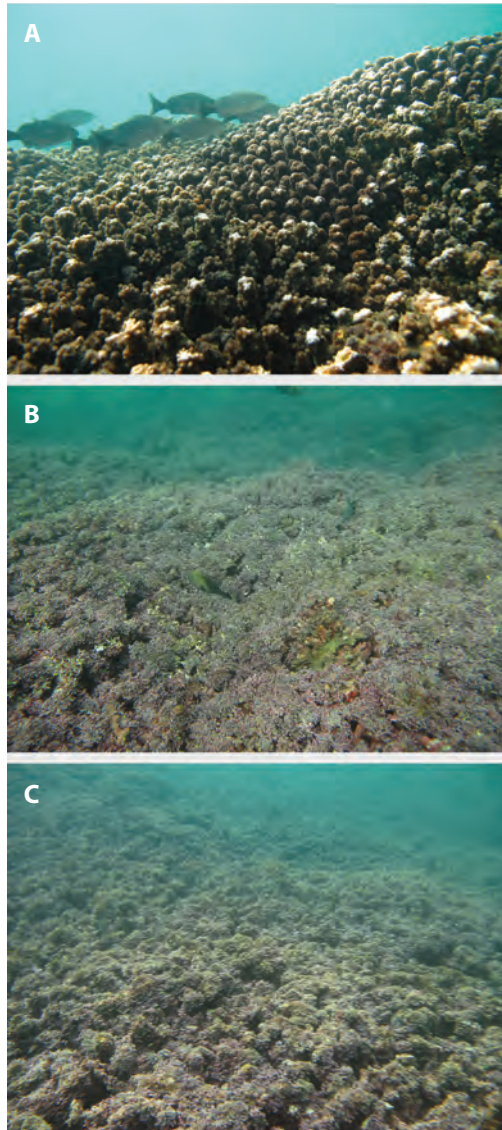


**Fig. 1.** Área de estudio “Bahías de Huatulco”. Distribución de los puntos de muestro en Bahía Maguey y Bahía Violin.  
**Fig. 1.** Location of the study area “Huatulco Bays”. Distribution of sampling points in Maguey and Violin bays.



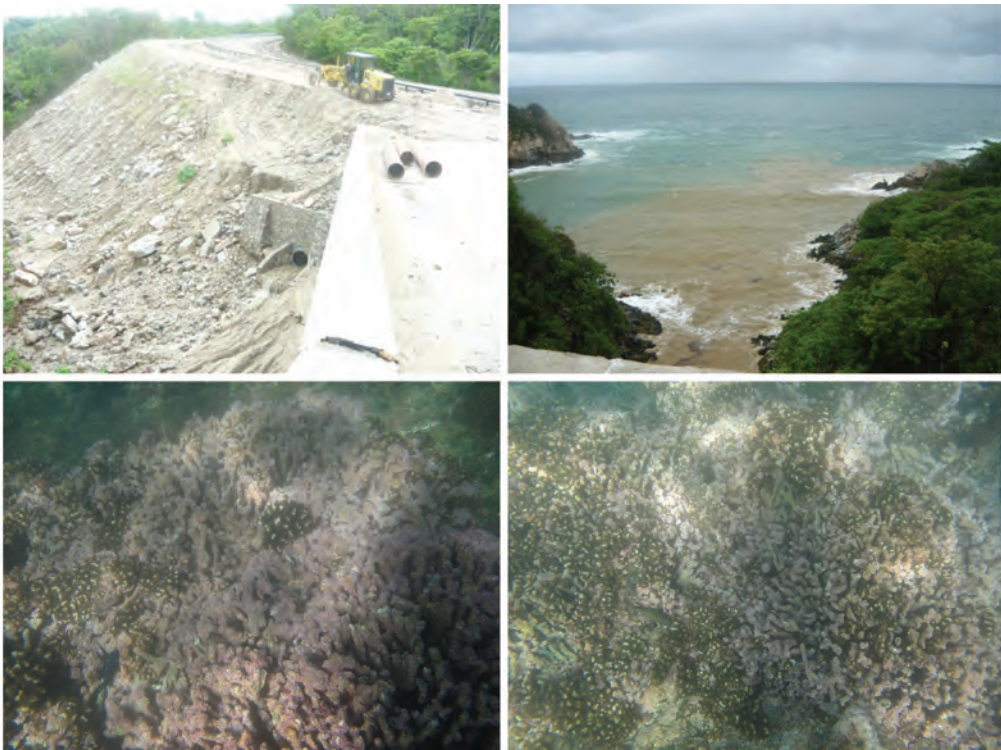
**Fig. 2.** A. Fotografía subacuática del transecto siete antes de la perturbación en Bahía Maguey. B y C. Fotografías subacuáticas de los ambientes impactados en Bahía Maguey (Fotografías subacuáticas: Colección digital de especies del laboratorio de Ictiología y Ecología Costera de la Universidad Autónoma Metropolitana-Iztapalapa).  
**Fig. 2.** A. Underwater photography of transect seven before the disturbance at Maguey Bay. B y C. Underwater photographs of the environments impacted in Maguey Bay (Underwater photographs: Digital collection of species from the Ichthyology and Coastal Ecology Laboratory of the Autonomous Metropolitan University-Iztapalapa).

CUADRO 1  
 Parámetros comunitarios por localidad antes y después de los eventos de perturbación

TABLE 1  
 Community parameters by location before and after the disturbance events

Atributos comunitarios	Bahía Maguey		Bahía Violín	
	Antes	Después	Antes	Después
Número de especies	10.33 ± 4.13	10.16 ± 2.14	9.21 ± 3.04	8.12 ± 4.01
Abundancia	96 ± 35.17	70.61 ± 42.91	76.64 ± 55.73	54.12 ± 65.85
Diversidad (H'n) (bits/individuo)	1.7765 ± 0.2095	1.5941 ± 0.3007	1.569 ± 0.2859	1.4861 ± 0.4727
Equidad (J')	0.7923 ± 0.069	0.6925 ± 0.1157	0.7304 ± 0.1215	0.7162 ± 0.1016
Dominancia (D')	0.2182 ± 0.0315	0.2955 ± 0.1149	0.2872 ± 0.0855	0.3059 ± 0.1326

media ± desviación estándar.  
 mean ± standard deviation.



**Fig. 3. A.** Fotografía de la construcción del andador escénico “Sección de Andador de Usos Múltiples Escénico II” en Bahía Violín. **B.** Fotografía del ingreso de sedimento terrígeno a la Bahía Violín. **C y D.** Fotografías subacuáticas de los ambientes impactados en Bahía Violín (Fotografías: Parque Nacional Huatulco. Fotografías subacuáticas: Colección digital de especies del laboratorio de Ictiología y Ecología Costera de la Universidad Autónoma Metropolitana- Iztapalapa).

**Fig. 3. A.** Photographs of the construction of the scenic walkway “Section of the Multiple Use Scenic Walker II” in Violin Bay. **B.** Picture of terrigenous sediment deposit to Violin Bay. **C y D.** Underwater photographs of the environments impacted in Violin Bay (Photographs: Huatulco National Park. Underwater Photographs: Digital collection of species from the Ichthyology and Coastal Ecology Laboratory of the Autonomous Metropolitan University-Iztapalapa).

CUADRO 2  
Resultados del análisis de porcentajes de similitud (SIMPER) para Bahía Magüey

TABLE 1  
Results of the analysis of similarity percentages (SIMPER) for Bahía Magüey

Especie	AP1	AP2	DIP	CBT %	ACM %
<i>Prionurus punctatus</i>	8.33	1.81	4.47	8.17	8.17
<i>Thalassoma lucasanum</i>	13	15.05	3.69	6.76	14.93
<i>Cirrhitichthys oxycephalus</i>	5	0.43	3.38	6.19	21.12
<i>Microspathodon bairdii</i>	1.67	0.33	3.05	5.58	26.7
<i>Bodianus diplotaenia</i>	0	0.71	2.84	5.2	31.9
<i>Halichoeres dispilus</i>	0	1.14	2.68	4.9	36.8
<i>Stegastes flavilatus</i>	1.67	0.71	2.32	4.24	41.04
<i>Lutjanus argentiventris</i>	1.33	0.19	2.05	3.74	44.78
<i>Epinephelus labriformis</i>	0.67	0.14	1.97	3.6	48.39
<i>Holacanthus passer</i>	1	0.24	1.96	3.59	51.98
<i>Johnrandallia nigrirostris</i>	0.67	0.14	1.95	3.58	55.55
<i>Microspathodon dorsalis</i>	12.67	6.81	1.91	3.49	59.04
<i>Halichoeres notospilus</i>	0	0.71	1.84	3.36	62.41
<i>Ophioblennius steindachneri</i>	0	0.86	1.81	3.3	65.71
<i>Prionurus laticlavus</i>	0.67	0	1.78	3.26	68.97
<i>Lutjanus novemfasciatus</i>	0.67	0.05	1.52	2.78	71.75
<i>Stegastes acapulcoensis</i>	19.67	16.43	1.5	2.74	74.49
<i>Cephalopholis panamensis</i>	0	0.33	1.34	2.46	76.95
<i>Halichoeres chierchiae</i>	0	0.33	1.22	2.24	79.19
<i>Caranx caballus</i>	0	1	1.06	1.94	81.13
<i>Fistularia commersonii</i>	0	1.05	0.93	1.7	82.82
<i>Scarus compressus</i>	0	0.52	0.86	1.57	84.39
<i>Stegastes rectifraenum</i>	0	0.29	0.8	1.46	85.86
<i>Sargocentron suborbitalis</i>	0	0.19	0.8	1.46	87.32
<i>Kyphosus analogus</i>	0	0.24	0.78	1.43	88.74
<i>Halichoeres nicholsi</i>	0	0.38	0.69	1.26	90

AP1= abundancia promedio anterior a la perturbación/ average abundance before the disturbance; AP2= abundancia promedio posterior a la perturbación/ average abundance after the disturbance, DIP= disimilitud promedio/ average dissimilarity; CBT= contribución porcentual/ percentage contribution; ACM= porcentaje acumulativo cumulative percentage.